

Р.Б. Нутерман, А.В. Старченко

Пространственная модель для прогноза распространения выбросов автотранспорта в элементах городской застройки

Томский государственный университет

Поступила в редакцию 1.02.2007 г.

Представлены результаты численного моделирования аэродинамики и переноса примеси в элементах городской застройки. Микромасштабная модель включает уравнения Рейнольдса для предсказания аэrodинамики, уравнения двухпараметрической $k-\epsilon$ -модели турбулентности. Численное решение уравнений получено на основе метода конечного объема.

Предложенная математическая модель прошла апробацию на серии экспериментальных тестов. Кроме того, проводилось сравнение с данными полевых измерений, которые осуществлялись в рамках проекта TRAPOS (Optimisation of Modelling Methods for Traffic Pollution in Streets).

Цель работы и математическая постановка задачи

Выбросы выхлопных газов автотранспортом становятся главным источником загрязнения воздуха в городской среде. Уличные каньоны – это один из наиболее важных элементов города, где относительно велика плотность транспортных средств и воздействие вредных веществ на человеческий организм сильно возрастает. Сценарный анализ и прогноз загрязнения атмосферного воздуха в уличных каньонах позволяют определять неблагоприятные условия с образованием локально высоких концентраций выхлопов, а также дают возможность при планировании городского рельефа в полной мере учитывать естественную вентиляцию городских кварталов.

Для исследования характера распространения газообразных примесей атмосферного воздуха, поступающих от автомобильного транспорта, в элементах городской застройки наряду с экспериментальными методами широко используются методы математического моделирования [1–3], которые включают уравнения гидродинамики, модели турбулентности и уравнения турбулентной диффузии. В настоящее время интерес к разработке микромасштабных метеорологических моделей существенно возрос в связи с перспективой их применения для создания надежных схем параметризации городского пограничного слоя для мезомасштабных моделей атмосферы [4].

В данной статье описаны пространственная микромасштабная модель и метод расчета, а также их апробация на экспериментальных данных для течений вблизи препятствий и в уличных каньонах.

Микромасштабная модель аэродинамики и переноса примеси основана на стационарных трехмерных уравнениях Рейнольдса, двухпараметрической

$k-\epsilon$ -модели турбулентности [5] и уравнении адvection-diffusion для описания переноса примеси, при этом основные теплофизические свойства рассматриваются постоянными. Уравнения сохранения массы, импульса и концентрации примеси имеют следующий вид:

$$\frac{\partial U_j}{\partial x_j} = 0, \quad (1)$$

$$\frac{\partial(U_i U_j)}{\partial x_j} = -\frac{1}{\rho} \frac{\partial P}{\partial x_i} + \frac{\partial}{\partial x_j} \left[v \left(\frac{\partial U_i}{\partial x_j} + \frac{\partial U_j}{\partial x_i} \right) \right] + \frac{\partial(-\bar{u}_i u'_j)}{\partial x_j}, \\ i = 1, 2, 3, \quad (2)$$

$$\frac{\partial(U_j C)}{\partial x_j} = \frac{\partial}{\partial x_j} \left[D \left(\frac{\partial C}{\partial x_j} \right) \right] + \frac{\partial(-\bar{u}'_j c')}{\partial x_j} + S. \quad (3)$$

В этих уравнениях U_i и C – осредненные компоненты скорости и концентрация примеси соответственно; u'_i и c' – пульсации компонент вектора скорости и концентрации; ρ – плотность жидкости; P – давление; v и D – молекулярная кинематическая вязкость и молекулярная диффузия соответственно; x_i – декартовы координаты; S – источник постоянной интенсивности. По повторяющемуся индексу j в (1)–(3) ведется суммирование от 1 до 3.

Напряжения Рейнольдса $\bar{u}'_i \bar{u}'_j$ и турбулентные диффузионные потоки $\bar{u}'_j c'$ моделируются с использованием замыкающих соотношений Буссинеска:

$$\bar{u}'_i \bar{u}'_j = -v_t \left(\frac{\partial U_i}{\partial x_j} + \frac{\partial U_j}{\partial x_i} \right) + \frac{2}{3} k \delta_{ij},$$

$$\bar{u}'_j c' = -\Gamma_t \frac{\partial C}{\partial x_j}, \quad \delta_{ij} = \begin{cases} 1, & i = j, \\ 0, & i \neq j. \end{cases}$$

Двухпараметрическая модель турбулентности имеет следующий вид [5]:

$$U_j \frac{\partial k}{\partial x_j} = v_t \left(\frac{\partial U_i}{\partial x_j} + \frac{\partial U_j}{\partial x_i} \right) \frac{\partial U_i}{\partial x_j} + \frac{\partial}{\partial x_j} \left(\frac{v_t}{\sigma_k} \frac{\partial k}{\partial x_j} \right) - \epsilon, \quad (4)$$

$$\begin{aligned} U_j \frac{\partial \epsilon}{\partial x_j} &= \\ &= C_1 v_t \frac{\epsilon}{k} \left(\frac{\partial U_i}{\partial x_j} + \frac{\partial U_j}{\partial x_i} \right) \frac{\partial U_i}{\partial x_j} + \frac{\partial}{\partial x_j} \left(\frac{v_t}{\sigma_\epsilon} \frac{\partial \epsilon}{\partial x_j} \right) - C_2 \frac{\epsilon^2}{k}, \quad (5) \\ v_t &= C_\mu \frac{k^2}{\epsilon}, \quad \Gamma_t = \frac{v_t}{S c_t}, \end{aligned}$$

где k и ϵ – это турбулентная кинетическая энергия и турбулентная диссипация соответственно, а константы $C_\mu = 0,09$, $C_1 = 1,44$, $C_2 = 1,92$, $\sigma_k = 1,0$, $\sigma_\epsilon = 1,3$, $S c_t = 0,7$.

Движущийся автотранспорт представляет собой не только источник выбросов примеси в атмосферу, но и является генератором так называемой механической турбулентности, обусловленной возмущением воздуха вследствие регулярного перемещения объектов конечной длины, имеющих существенное сопротивление. В данной работе учет этого фактора осуществлен (так же, как и в [3]) путем добавления соответствующих членов в « $k-\epsilon$ »-модель турбулентности. Для учета порождения кинетической энергии турбулентности за счет движения автотранспорта в уравнении (4) добавляется к правой части следующий член $C_{car} V_{car}^2 Q_{car}$, а в уравнении (5) – слагаемое, отвечающее за диссипацию механической энергии турбулентности, которое имеет вид $C_{car} V_{car}^2 Q_{car} (\epsilon/k)$, где $C_{car} = 0,0015$ – эмпирический коэффициент [3]; V_{car} – скорость автомобилей; Q_{car} – число автомобилей в секунду (в расчетах $V_{car} = 8,333$ м/с, а $Q_{car} = 0,347$ [6]).

Краевые условия на выходе из области исследования и на открытых боковых границах – это равенство нулю нормальных производных, а краевые условия на твердых поверхностях и на входе имеют следующий вид:

– на входе при $x = x_1$:

$$U_1 = U_{in}(x_3), \quad U_2 = U_3 = 0, \quad C = 0,$$

$$k = k_{in}(x_3), \quad \epsilon = \epsilon_{in}(x_3);$$

– на твердой поверхности:

$$U_1 = U_2 = U_3 = 0, \quad \frac{\partial C}{\partial n} = 0,$$

где U_{in} , k_{in} , ϵ_{in} – известные функции от вертикальной координаты x_3 ; n – вектор нормали к границе; x_3 – вертикальная координата.

Для расчета турбулентных параметров потока у стенки используется метод пристеночных функций Лаундера–Сполдинга [5].

Метод решения и результаты расчетов

Дискретизация дифференциальных уравнений осуществляется методом конечного объема [7], при этом аппроксимация конвективных членов уравнений переноса выполняется с использованием схемы MLU Ван Лира [8]. Для вычисления интегралов применяются кусочно-линейные профили, которые описывают изменение зависимой переменной между узлами [9]. В результате такого интегрирования получается дискретный аналог дифференциальных уравнений, в который входят значения переменной в нескольких соседних узлах. При его решении использовался метод фиктивных областей, суть которого в том, что значения векторных и скалярных величин в области преграды равны нулю и в фиктивных конечных объемах нет диффузии. Система сеточных уравнений решается явным методом Бульеева [10].

Течения вокруг плохо обтекаемых тел, которые имеют место в различных инженерных приложениях, в том числе и при исследовании аэродинамики элементов городской застройки, включают сложные явления, такие как разделение и присоединение потока, образование нестационарного вихря, повышенный уровень турбулентности. Естественно, что на практике существует необходимость предсказывать такого рода течения, хотя это трудная задача даже для относительно простых геометрий.

В данной статье для тестирования микромасштабной модели атмосферного пограничного слоя рассматривается течение вокруг куба высотой h , расположенного в канале высотой $2h$ и шириной $4h$, расстояние между фронтальной гранью куба и входной границей $60h$ (рис. 1). Для этой геометрии число Рейнольдса $Re = U_b h / v = 40000$, $U_b = 28,8$ м/с – средняя скорость потока на входе в канал. Результаты экспериментального исследования этого течения представлены в статье [11]. Вычисления проводились на сетке $97 \times 82 \times 42$. Расчеты и измерения показывают, что даже при такой простой геометрии наблюдается очень сложное течение (см. рис. 1).

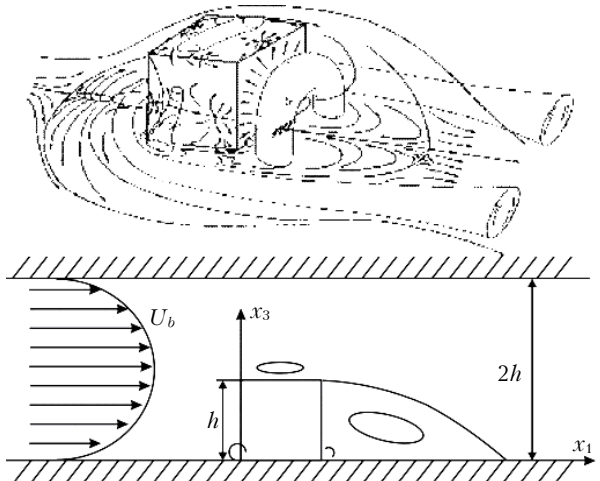


Рис. 1. Схематичное изображение течения вокруг куба [11]

По ходу движения поток разделяется на фронтальной грани куба, при этом образуются вторичные рециркуляции на верхней грани куба и у его боковых плоскостей, а также у нижней части фронтальной грани (рис. 2).

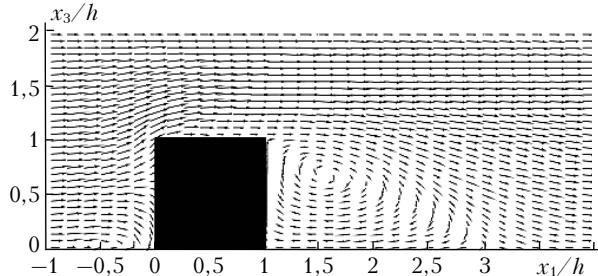


Рис. 2. Векторное поле скорости в плоскости $x_2 = 0$ для течения вокруг куба

При этом основной вихрь в следе за кубом имеет форму подковы и там развивается большая отрывная зона, которая взаимодействует с подковообразным вихрем. В дополнение ко всему в области рециркуляции за кубом образуется вихрь в виде арки (рис. 1–3).

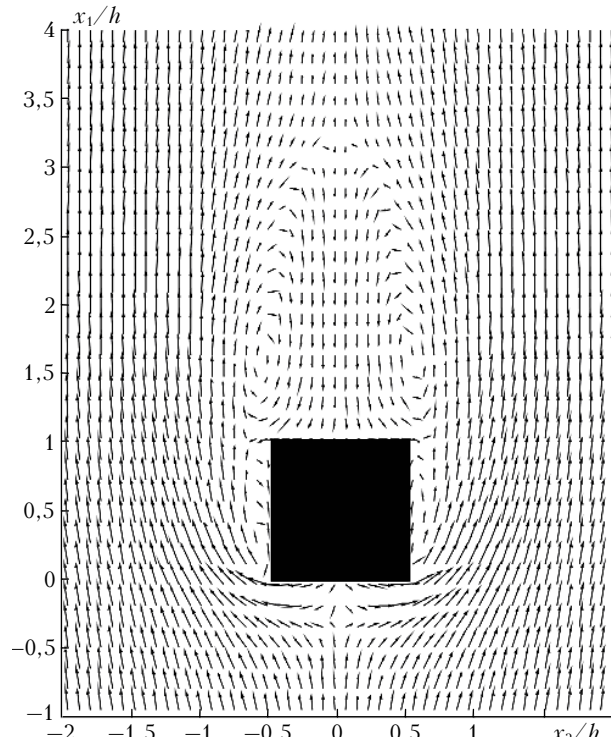


Рис. 3. Векторное поле скорости для течения вокруг куба при $x_3/h = 0,075$

Расчеты показывают, что широко используемая в инженерных расчетах стандартная $\langle k-\varepsilon \rangle$ -модель не вполне адекватно моделирует течение и турбулентную структуру в области, где встречаются рециркуляционные движения жидкости (рис. 4).

Это хорошо видно, если рассмотреть уровень кинетической энергии за кубом (рис. 5).

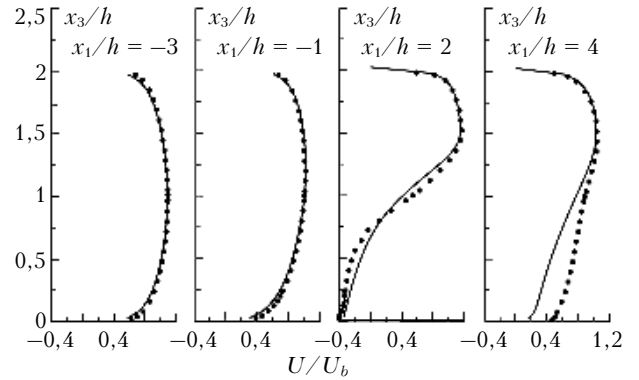


Рис. 4. Продольная составляющая вектора скорости U_1 для течения вокруг куба; — — расчет по модели, • — эксперимент [11]

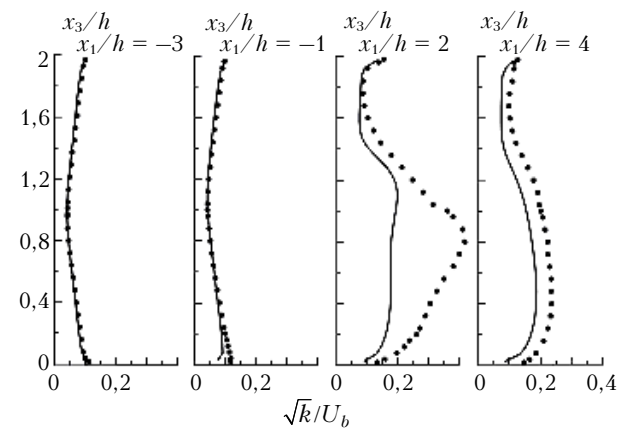


Рис. 5. Турбулентная кинетическая энергия для течения вокруг куба; — — расчет по модели, • — эксперимент [11]

Такое поведение объясняется тем, что двухпараметрическая модель предсказывает величину уровня генерации кинетической энергии за препятствием значительно меньше, чем она есть на самом деле. В результате этого турбулентная вязкость становится меньше, и вихрь в следе за кубом увеличивается. Тем не менее следует надеяться, что введение определенных модификаций в удобной в расчетном плане $\langle k-\varepsilon \rangle$ -модели позволит получить более правдоподобные данные моделирования [12].

Осознавая важность тестирования математических моделей для решения задачи распространения примесей в городской застройке, группа ученых по проекту TRAPOS (Optimisation of Modelling Methods for Traffic Pollution in Streets) [13] инициировала организацию и подготовила ряд тестовых случаев, которые включают в себя сравнение между экспериментальными и численными результатами. Наиболее сложный среди них — исследование аэродинамики и переноса примеси в участке городской застройки, окружающем ул. Геттингер в г. Ганновере. Для этой задачи доступны полевые измерения [14] и лабораторные данные [15] о концентрации примеси в одной точке вблизи источников выбросов, а также метеорологические данные, зарегистрированные над крышей самого высокого здания. На рис. 6 представлены векторное поле горизонтальной компоненты

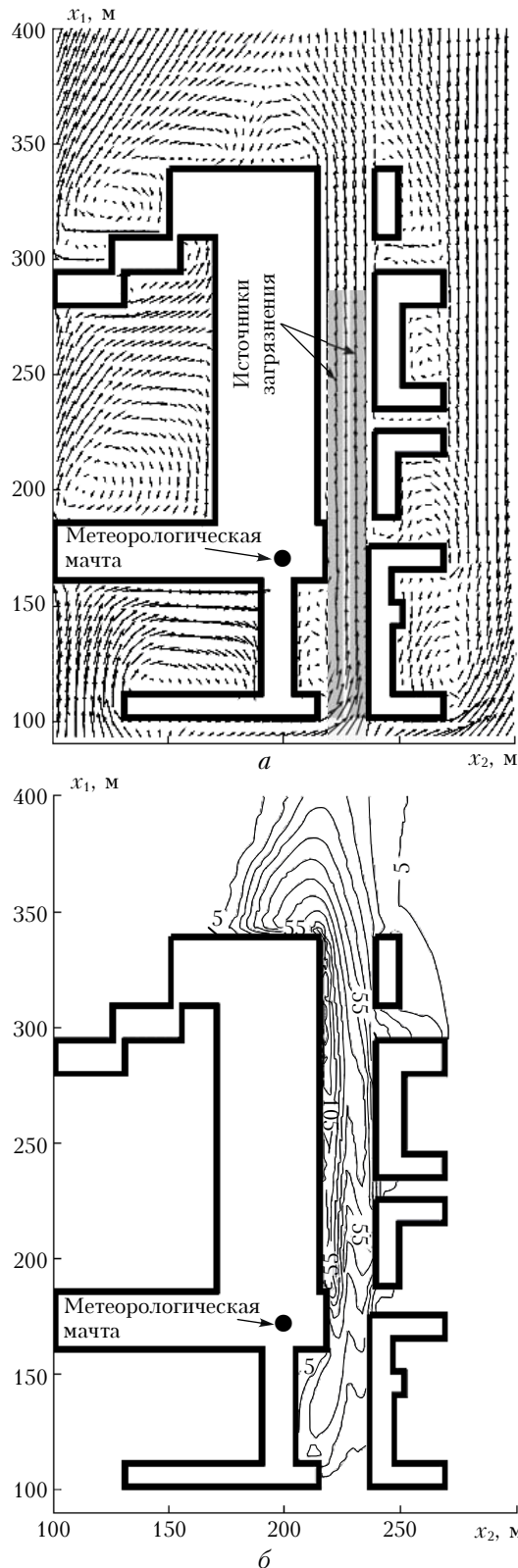


Рис. 6. Приземное векторное поле скорости (а) и уровни концентрации (б) на ул. Геттингер; ● — метеорологическая мачта ($x_3 = 10,5$ м)

скорости и безразмерная концентрация примеси $c^* = CV_{ref}H/(Q/L)$ ($V_{ref} = 10$ м/с — характерная скорость на высоте 100 м; $H = 20$ м — средняя вы-

сота здания; Q — интенсивность выбросов автотранспорта; $L = 180$ м — длина линейного источника).

Набегающий поток имеет направление движения с юга на север. Геометрическая модель для расчета в данной работе является точной копией ул. Геттингер (см. рис. 6). Подробное описание этого случая, включая краевые условия и параметры шероховатости поверхностей, получены из базы данных в Интернете, которая была составлена в рамках проекта TRAPOS [13]. Расчеты показывают сложное турбулентное движение воздушных масс (см. рис. 6). Видно образование вихревых структур вблизи углов зданий, так же как и вовлечение воздушных масс в рекиркуляционное движение с противоположной стороны улицы, что приводит к накоплению выбросов от автотранспорта. Однако при таком направлении движения основного воздушного потока примесь, поступающая с выхлопами автотранспорта, практически не попадает во внутренние дворы, а сносится потоком вдоль улицы с повышением концентрации у левой стороны автотрассы.

На рис. 7 представлены результаты сравнения между рассчитанными и измеренными значениями вектора скорости и турбулентной кинетической энергии в области над метеорологической мачтой (см. рис. 6).

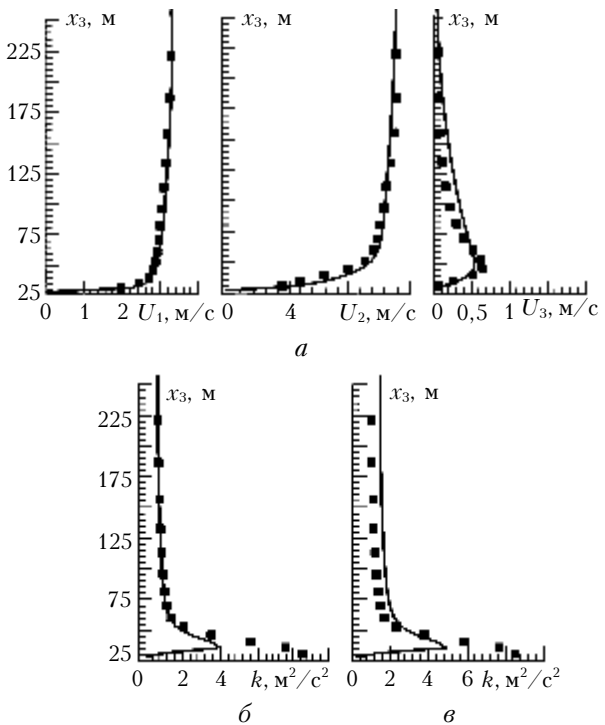


Рис. 7. Компоненты вектора скорости и кинетическая энергия; — — расчет по модели, ■ — эксперимент [15]; а — компоненты вектора скорости; б — без источника механической турбулентности; в — с источником механической турбулентности

Как видно из рис. 7, существует небольшая переоценка U_3 компоненты скорости, в то время как остальные компоненты практически идеально совпадают с измерениями. Однако в области, близкой

к крыше самого высокого здания, где экспериментальные данные показывают высокие уровни k , существует недооценка рассчитанной турбулентной кинетической энергии (рис. 7, б). Добавление источникового члена (рис. 7, в), который моделирует генерацию энергии турбулентности автотранспортом, приводит к увеличению общего уровня турбулентности, хотя недооценка k у крыши все же остается.

Заключение

Представлены результаты применения микромасштабной модели аэродинамики и переноса примеси в городской застройке. Проведены расчеты для двух сложных геометрий и выявлены достоинства и недостатки использовавшейся модели. Показано, что стандартная « $k-\varepsilon$ »-модель не вполне адекватно воспроизводит рециркуляционные течения. Кроме того, исследовано влияние автотранспорта, генерирующего дополнительную турбулентность, на турбулентную структуру потока для реального случая городской застройки. Получено хорошее согласование с экспериментальными данными. Тем не менее предложенная математическая модель для турбулентных характеристик потока нуждается в усовершенствовании, так как небольшие отличия в картине течения, направлении вектора скорости могут стать причинами неправильного предсказания распространения выбросов автотранспорта в городской застройке.

Работа выполнена при финансовой поддержке INTAS (INTAS Ref. № 06-1000016-5928) и РФФИ (проект № 07-05-01126).

1. Оке Т.Р. Климаты пограничного слоя. Л.: Гидрометеоиздат, 1982. 360 с.
2. Nuterman R.B., Starchenko A.V. A modeling of air flow in a street canyon // Proc. SPIE. 2004. V. 5396. P. 89–98.

R.B. Nuterman, A.V. Starchenko. Spatial model for forecast of vehicle emission-distribution in elements of urban canopy.

The results of numerical modeling of aerodynamics and pollution transfer in urban obstacles are presented. The spatial micro-scale model includes Reynolds equations for aerodynamics prediction near the non-penetrable and penetrable obstacles, two-equation « $k-\varepsilon$ »-model of turbulence. The numerical solution of equations is based on the finite volume method.

The mathematical model was verified by a set of experiments. Besides, the micro-scale model is compared with the field data, obtained in the frame of TRAPOS (Optimisation of Modeling Methods for Traffic Pollution in Streets).

3. Нутерман Р.Б., Старченко А.В. Моделирование движения воздуха в уличном каньоне // Оптика атмосферы и океана. 2005. Т. 18. № 8. С. 649–657.
4. Baklanov A.A., Mestayer P.G. Improved parameterisation of urban atmospheric sublayer and urban physiographic data classification // DMI Scientific Report. 2004. N 04–05. P. 75.
5. Launder B.E., Spalding D.B. The numerical computation of turbulent flows // Comput. Methods in Appl. Mech. and Eng. 1974. V. 3. N 2. P. 269–289.
6. Louka P. Contribution of Petrova Louka to the TRAPOS WG-TPT meeting in Cambridge. URL: <http://www2.dmu.dk/atmosphericenvironment/trapos/louka-camb.pdf>
7. Патанкар С. Численные методы решения задач теплообмена и динамики жидкости. М.: Энергоатомиздат, 1984. 152 с.
8. Noll B. Evaluation of a Bounded High-Resolution Scheme for Combustor Flow Computation // AIAA J. 1992. V. 30. N 1. P. 64–69.
9. Есайлов А.О., Старченко А.В. К выбору схемы для численного решения уравнений переноса // Вычислительная гидродинамика. Томск: Изд-во Том. ун-та, 1999. С. 27–32.
10. Ильин В.П. Методы неполной факторизации для решения алгебраических систем. М.: Физматлит, 1995. 288 с.
11. Martinuzzi R., Tropea C. The flow around surface-mounted, prismatic obstacles placed in a fully developed channel flow // J. Fluid Eng. 1993. V. 115. P. 85.
12. Rodi W. Comparison of LES and RANS calculations of the flow around bluff bodies // J. Wind Eng. and Industr. Aerodyn. 1997. V. 69. N 71. P. 55–75.
13. URL: <http://www2.dmu.dk/atmosphericenvironment/trapos/>
14. Chauvet C., Leitl B., Schatzmann M. High Resolution Measurements in an Idealised Street Canyon // Proc. of the 3rd Int. Conf. on Urban Air Quality. Loutraki, Greece. March, 2001.
15. Liedtke J., Leitl B., Schatzmann M. Dispersion in a street canyon: Comparison of wind tunnel experiments with field measurements // Proc. of Eurotrac Symp. 98. WIT Press, 1999. P. 806–810.